

# 衝撃力を受けるTimoshenkoはりの弾塑性応答について

金沢大学工学部

小堀為雄

石川工業高等専門学校

○出村禎典

## 1. まえがき

変形が弾性範囲内にとどまる場合の衝撃力に対する構造部材の強度や変形に関する研究は、従来から盛んに行なわれ設計法も確立されてきている。しかし、このように生じる応力を許容応力内に抑えている弾性設計法だけでは、まれにしか作用しないような大きな衝撃力を取り扱うには、構造物が不経済なものになってしまう。そこで、このような大きな衝撃力が構造物に作用した場合、構造部材の一部が弾性範囲を越え塑性変形が生じても、構造物が崩壊したり、構造物の機能に有害な2次応力などが生じなければ良いという考え方が注目されるようになってしまった。そのため、衝撃力によるはりの弾塑性応答に関する研究論文も数多く発表され、設計の合理化に寄与してきている。

ところで、はりの弾塑性応答の解析には、一般に回転慣性やせん断変形の影響を無視している Euler-Bernoulli はりの振動理論に基づいて解析されている。このような要素の影響は、一般的な構造物では小さいと思われるが、スパン長が短かく腹板の薄い工形断面はりでは、せん断変形の影響はかなり大きくなると考えられる。また、大きな変形が生じる場合の両端固定はりや軸力の作用するラーメンのような場合、軸力による変形の影響を無視できない要素には、くると考へられる。しかし、このように曲げ変形に加え、せん断変形や軸力による変形も考慮に入れて弾塑性応答を解析するには、応答が非線形振動であるとともに、はりの運動が塑性領域に入、その場合には、曲げモーメントとせん断力および軸力の相互作用を考慮に入れなければならない。

本研究は以上の点に注目したもので、その中のせん断変形、回転慣性、またせん断力と曲げモーメントの相互作用が、はりの弾塑性応答におよぼす影響を調べ、それらが構造部材の強度や変形に与える影響を設計の立場から考察したものである。

## 2. 計算方法

せん断変形や回転慣性の影響を考慮に入れている振動理論は、Timoshenko はりの理論として知れ、弾性応答に関してはかなり詳しく知られている。しかし、変形が塑性領域にまでおよぶ弾塑性応答は、前述のように応答が非線形振動であるとともに、相互作用を考慮に入れなければならぬため、はりを連続体として解析するには困難な点が多い。そこで、Michigan 州立大学の Wen 教授は、はりを集中質量に分けた近似モデルに置き換え、それに数値積分法を用いた計算方法を提案した。そこで、このモデルを Wen モデルと呼ぶことにする。著者らは、この方法を参考にして数値解析によることとした。以下簡単に計算方法について説明する。

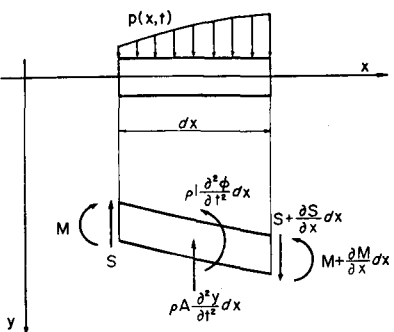
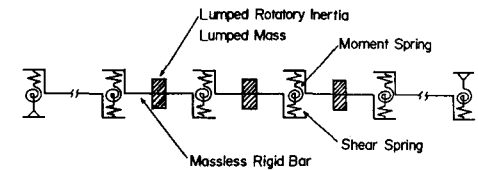


Fig.1 Forces Acting on an Element of Continuum

Timoshenkoはりの振動理論は、鉛直方向の慣性力とともに回転方向の慣性力をも考慮に入れていたためK、運動方程式は回転方向と鉛直方向に分けて次式のように表わされる（Fig.1参照）。

$$\frac{\partial S}{\partial X} = \rho A \frac{\partial^2 y}{\partial t^2} - p(x, t) \quad (1)$$

$$S = \frac{\partial M}{\partial X} + \rho I \frac{\partial^2 \phi}{\partial t^2} \quad (2)$$



式(2)  $\rho I \frac{\partial^2 \phi}{\partial t^2}$ として回転慣性が入っている。

Fig.2 Timoshenko Beam of Wen Model  
(Undeformed State)

また、WenモデルはFig.2に示すように、はりを変形

しないrigid barと分けて、変形はforce pointと入力されているspring、(曲げモーメントによる変形はmoment springが、せん断力による変形はshear spring)が受け持つものと考える。このようなモデルのpanelにおける各々の力の関係は、Fig.3のよう

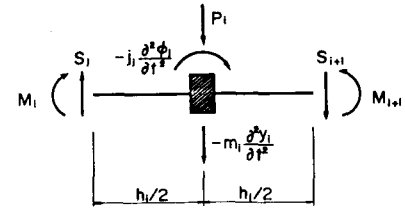


Fig.3 Forces Acting on a Typical Panel

$$(\rho I h)_i \frac{\partial^2 \phi}{\partial t^2} = M_i - M_{i+1} + \frac{1}{2} h_i (S_i + S_{i+1}) \quad (4)$$

はりを連続体とした場合の運動方程式(1)はモデルにおける運動方程式(3)に相当し、式(2)は式(4)に相当する。 $P_i, M_i$ は集中質量、集中外力である。

せん断変形は連続体では、はりのたわみ角は曲げモーメントによるたわみ角とせん断力によるたわみ角の和であるとして、次式のようく組み入れている。

$$\frac{\partial y}{\partial X} = \phi + \frac{\partial \beta}{\partial X} \quad (5)$$

$\beta$ はせん断力によるたわみを表す。

モデルでは、変形状態をFig.4のようく考え、 $\beta$ をせん断変形を入れてある。

次に、応力と変形の関係は、弾性範囲内では連続体の場合次式のように表わされる。

$$M = -EI \frac{\partial \phi}{\partial X} \quad (6)$$

$$S = G A' \beta' \quad (7)$$

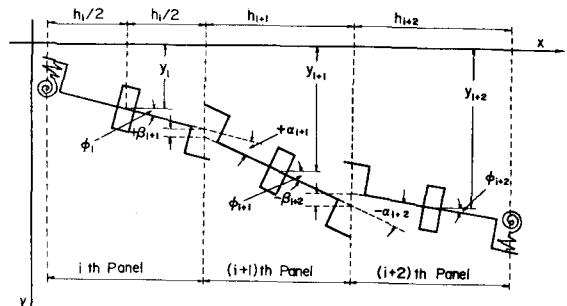


Fig.4 Timoshenko Beam of Wen Model  
(Deformed State)

これらの式に対して、モデルではbarのflexibilityが半分ずつforce pointを集中してSpringのばね定数を考え、 $M_i$ と $d\beta/dt$ （曲げモーメントによる変形量）と $S_i \times \beta_i$ （せん断力による変形量）の関係を次式のようく表わす。

$$M_i = -EI \frac{d_i}{\beta_i + \beta_{i-1}} \quad (8)$$

$$S_i = \frac{\gamma A}{\beta_i + \beta_{i-1}} \quad (9)$$

連續体では、式(1), (2), (5), (6)および式(7)を用いて、1つの式にまとめて解くことができる。しかし、この式は、弾性範囲内でも特殊な外力や境界条件を除いては解くことは困難である。これを対してモデルでは、式(3), (4), (8)および式(9)で、Fig.4に示される幾何的条件を考え、数値積分法を適用すれば、より広範な荷重状態や境界条件についても解析を行なうことができる。

以上、弾性領域における計算方法について述べたが、次にほりの挙動が塑性領域に入、た場合について説明する。ほりの一部が塑性領域に入ると、その断面では式(6), (7), (8)および式(9)の弾性条件式は成立しなくなる。Eulerほりのように曲げ変形のサを考えていく場合には、Mとサの関係を新たに塑性領域における関係に置き換えて計算を進めねばよい。しかし、Timoshenkoほりでは曲げモーメントとせん断力の相互作用を考えなければならぬ。そこで、塑性領域におけるほりの挙動は塑性ホンシャル理論に従うとする。

(ほり)の任意の断面において塑性ホンシャル関数  $f(M, S)$  が存在し、interaction curve または降伏限界曲線は次式で表わされる。断面に働く曲げモーメントとせん断力が  $f(M, S) < 0$  なる関係にあるときは、断面のすべてが弾性であることを示す。

$$f(M, S) = 0 \quad (10)$$

これは塑性状態になり、塑性変形が生ずる。また  $f(M, S) < 0$  なることはあり得ない。 $f(M, S) = 0$  なる場合の塑性変形は次の法則に従う (Fig. 5 参照)。

$$\frac{\frac{\partial f(M, S)}{\partial M}}{\frac{\partial}{\partial t} \left( \frac{\partial \phi}{\partial x} \right)_p} - \frac{\frac{\partial f(M, S)}{\partial S}}{\frac{\partial}{\partial t} \left( \frac{\partial \beta}{\partial x} \right)_p} = C \quad (11)$$

$C$  はスカラーラー量である。

式(10)を加えて連続体として解くことは不可能である。

そこでモデルでは次のよう取り扱っていき。塑性ヒンジは force point で生じるものとし、その force point の塑性ホンシャル関数  $f(M, S)$  に対する連続体の断面の塑性ホンシャル関数を使用する。数値積分を進めて行くうち  $K$ ,  $f(M, S)$  が負から正になる時、まづ十分正確  $f(M, S) = 0$  なる時刻  $t = t_p$  を求めよ。 $t = t_p$  より塑性領域の計算に入る。

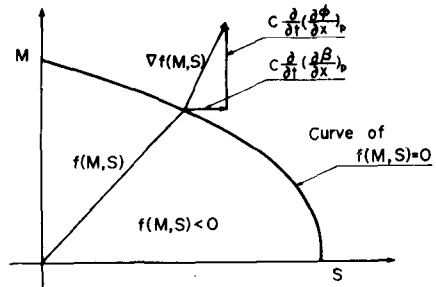


Fig.5 Plastic Potential Function

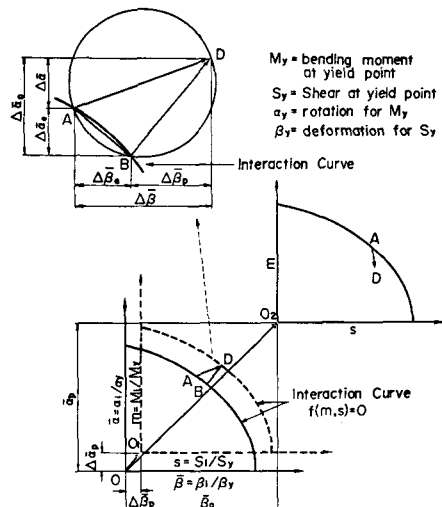


Fig.6 Treatment of Plastic Behavior

はりの塑性領域に入り場合に、式(8), (9)はか、 $\beta_{pl}$ の全体に対して適用できなくなる。すなわち、応力に関係するか、 $\beta_{el}$ (弾性部分)と関係しない $\beta_{pl}$ ,  $\beta_{pl}$ (塑性部分)に分けなければならぬ。その分割は、式(10)で表わされる法則を満足していなければならぬ。分割のテクニックを示すと、本研究では変形状態を表わすか、 $m-s$ 座標系と応力状態を表わす $m-s$ 座標系を用いる(Fig.6参照)。 $t=t_0$ 時では両座標系は一致しており、その時の変形状態を点Aとする。さもなく、時間増分 $\Delta t$ だけ進んだ $t=t_0 + \Delta t$ における変形状態は求めることはでき、その点をDとする。ADを直線とする円を描き、interaction curveとの交点をBとする。点Bを $m-s$ 座標系で求めた値から時 $t$ における応力状態を求める。次に点Bを点Cへ一致するよう $m-s$ 座標系をか、 $m-s$ 座標系へ平行移動し、その点をAとする。この方法を繰り返せばよい。 $\overline{O_1O_2}$ が塑性変形の増分を示す。 $\overline{AD}$ が内側に向れば弾性が復元(戻る)を意味し、 $\overline{O_2O_1}$ は塑性変形として残る。

### 3. せん断変形と回転慣性の影響

ここで行なう、下数值解析は主にせん断変形や回転慣性が、衝撃力によるはりの最大応答や残留変形に与える影響、それらの影響によつてはりの強度がどのように変化するかに注目して行なう。

#### (1) 計算における仮定 — 計算に用ひ

下衝撃力はFig.7を示すように、まづ一定荷重 $p_0$ をはりに等分布で載荷し、スパン中央点が最大応答 $Y_m$ を達した後取り除くもので、荷重強度 $P_y$ が決定されれば、最大応答 $Y_m$ や残留変形 $Y_f$ が定まる。

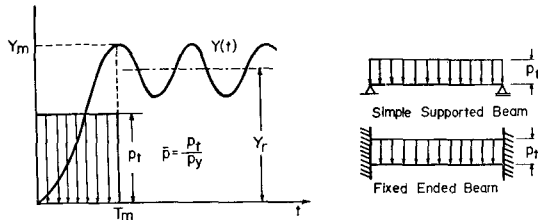


Fig.7 Impact Force and Dynamic Response

又、計算に使用した断面は土木・建築構造物

で採用されてゐるところのJIS G 3192に定められているH形鋼を使用した。

Timoshenkoはりのinteraction curveは次式で示される。なお、本研究に用ひたTimoshenkoはり

$$m^2 + S^2 - 1 = 0 \quad (12)$$

の計算方法は、stress-hardeningの影響を考慮に入れることができないので、Eulerはりでは対応上、その影響を無視したMiehの関係を使用している。

(2) せん断変形の影響 — せん断変形の影響の度合いは、せん断応力の曲げ応力に対する割合によつて異なる。そこで、 $\bar{\alpha} (= f_u / L)$ ,  $\bar{W} (= W_u / f_w)$ のようす入力パラメーターを考える。 $\bar{\alpha}$ は工形断面の斜高,  $L$ ははりのスパン長,  $W_u$ は腹板厚,  $f_w$ はフランジ幅である。 $\bar{\alpha}$ は、せん断応力を一定にして場合の曲げ応力の変化を示す。すなわち、 $\bar{\alpha}$ が大きくなるにつれ曲げモーメントのせん断力に対する割合が大きくなり、また $\bar{\alpha}$ が小さくなるにつれ曲げ応力のせん断応力に対する割合は大きくなる。同様に、 $\bar{W}$ は曲げ応力を一定にして場合のせん断応力を示す。そこで、 $\bar{W}$ によってせん断変形の影響がどのように変化するかを調べてみる。

数值計算結果をFig.8, 9に示す。Fig.8は単純支承(はり)の結果、Fig.9は両端固定(はり)についての結果である。ここで $\bar{W} = 0.036$ と腹板厚を一定にしてあるが、この値は一般の構造物に使用されていけるH形鋼の標準的な値である。載荷した衝撃力は $\bar{P} = 0.6$ で、これはEulerはりが少(塑性領域

域Kに入る荷重強度である。なお、 $p_y$ は静的K計算したばりの弹性限界荷重強度であり、図中の $\bar{Y}_y$ は同じく静的K計算したばりの弹性限界たわみである。

#### 解析結果より

- ① Euler はりの最大応答 $\bar{Y}_m$ 、残留変形 $\bar{Y}_r$ は $\bar{h}$ に関係なく一定である。
- ② 単純支持はりの場合、 $\bar{h} = 0.05$  ぐらいうまでは、せん断変形や回転慣性の影響を考慮に入れて Timoshenko はりによって計算した最大応答 $\bar{Y}_m$ や残留変形 $\bar{Y}_r$ と、それらの影響を無視している Euler はりによる計算結果とはほとんど一致している。また、せん断残留変形 $\bar{Y}_r$ もほとんど見られないのである。しかし、 $\bar{h}$ が 0.1 ぐらいうまになると、Timoshenko はりより求めた $\bar{Y}_m$ の値は Euler はりより約 20% 程大きくなるのである。 $\bar{Y}_r$ の値も約 35% 程増加していく。また、 $\bar{Y}_r$ も少し表われてきている。 $\bar{h}$ が 0.12 ぐらいうまになると、 $\bar{Y}_m$ は約 56% も増加し、 $\bar{Y}_r$ もかなり Euler はりの場合より大きくなる。残留変形はせん断残留変形 $\bar{Y}_r$ がほとんど占めている。そして、 $\bar{h}$ が 0.12 以上になると、Timoshenko はりによって求めた $\bar{Y}_m$ や $\bar{Y}_r$ と $\bar{h}$ の $\bar{\beta}_r$ は急激に増大し、 $\bar{h} = 0.1425$ で、それらの値は無限大になる。以上のことをより、衝撃力によるばかりの塑性変形には、回転慣性の影響はほとんどみられない。しかし、せん断変形の影響は、 $\bar{h} = 0.10$  ぐらいうまではそれ程大きくなりが、 $\bar{h} = 0.10$  以上になるととかなり大きくなり、 $\bar{h} = 0.12$  以上になるとともにはや無視できなくなる。

- ③ 両端固定はりの場合、単純支持はりの場合とほぼ同様の傾向を示しているが、単純支持はりに比べかなり小さい $\bar{h}$ でせん断変形の影響が生じはじめてくる。 $\bar{h} = 0.025$ 付近では、Timoshenko はりで計算した $\bar{Y}_m$ 、 $\bar{Y}_r$ と Euler はりによる $\bar{Y}_m$ 、 $\bar{Y}_r$ とほとんど一致しているが、 $\bar{h} = 0.05$ 付近では、Timoshenko はりの $\bar{Y}_m$ は約 2/10 のほど Euler はりより大きくなる。また、 $\bar{Y}_r$ も 0.5 ほどを生じている。しかし、せん断残留変形 $\bar{Y}_r$ はまだほとんど生じていない。そこでこの付近ではそれがほど大きいせん断変形の影響をほりと思われるが、 $\bar{h} = 0.6$ 付近になると $\bar{Y}_m$ は約 45% も大きくなり、 $\bar{Y}_r$ も 1.0 ぐらいい生じ、せん断残留変形 $\bar{Y}_r$ も少し表われ、もはやせん断変形の影響は無視することができなくなる。そして、 $\bar{h} = 0.07$ 以上になると、Timoshenko はりの $\bar{Y}_m$ 、 $\bar{Y}_r$ 、 $\bar{\beta}_r$ は急激に増大し、 $\bar{h} = 0.0925$ 付近で変形が無限大になる。両端固定はりの場合、単純支持はりよりか

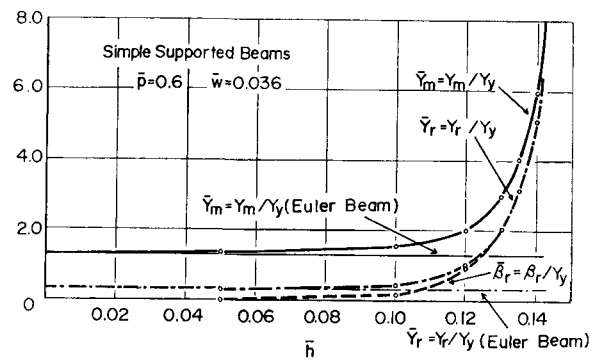


Fig.8 Response of I-Beams with Dfferent Lengths

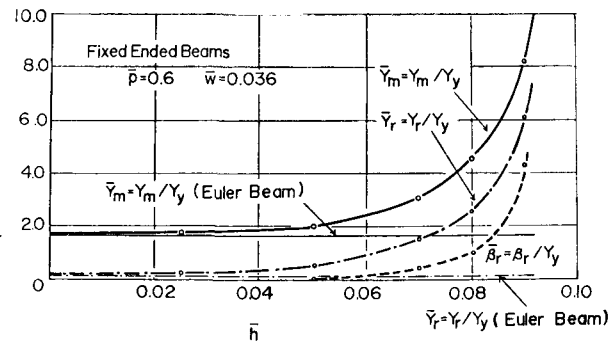


Fig.9 Response of I-Beams with Dfferent Lengths

り小さな  $\bar{\alpha}$  でせん断変形の影響が表われ、変形が無限大になるのは、単純支持はりの場合支点のせん断力で降伏しても曲げモーメントは存在しないが、両端固定はりでは両固定端でせん断力の代りに曲げモーメントが存在するため、同一スパン長の場合単純支持はりより小さなせん断力で降伏し始める。また、 $\bar{\alpha} = 0.06$  でせん断変形の影響はかなり生じてくるが、この程度の  $\bar{\alpha}$  の値は一般的構造物で普通に使用されている値である。

④ 単純支持はりの場合、残留変形は  $\bar{\alpha}$  の小さいときは曲げ変形によるものが大部分であるが、 $\bar{\alpha}$  が大きくなるとほとんどせん断残留変形で占められてしまう。これに対して、両端固定はりでは  $\bar{\alpha}$  が大きくなるとモーメントによる残留変形は残っていき。これも、固定端における曲げモーメントの存在による。

### (3) 塑性領域における曲げモーメントとせん断力の相互作用

両端固定はりの支点における曲げモーメントとせん断力の相互作用についての計算結果を Fig. 11 ~ 14 に示す。Fig. 10 は参考のため Euler はりのせん断力と曲げモーメントの関係で、Fig. 11 ~ 14 は Timoshenko はりで、 $\bar{\alpha}$  を次第に大きくしていき、各場合の相互作用の変化を示している。また、曲げモーメント  $M$ 、せん断力  $S$  は支点におけるものであるが、 $Y$  ははりの中央点の応答である。図は、Fig. 14 を除いては、応答  $Y$  が最大応答  $Y_m$  に達するまでの間の  $M$ 、 $S$ 、 $Y$  の時間による変化をプロットしてある。図中の  $T$  は、両端固定はりの固有周期である。

計算結果より

① Euler はりでは塑性領域に入ると、1.0 で一定値となる。

② Timoshenko はりの応答は、 $\bar{\alpha} = 0.05$  ではその形は Euler はりに似たものであるが、 $\bar{\alpha} = 0.07$  以上になると少し異なり、くさび。また、最大応答の生じる時間は、 $\bar{\alpha}$  が大きくなると遅くなる。

③ Timoshenko はりでは、塑性領域に入る時間はほぼ同じである。

④  $\bar{\alpha} = 0.05$  の場合、 $M$  の方が大きい状態で塑性領域に入ることが、塑性領域に入ると後、  $S$  の関係は

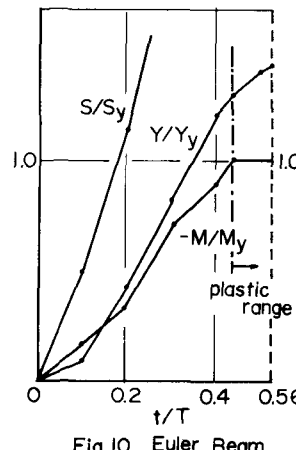


Fig.10 Euler Beam

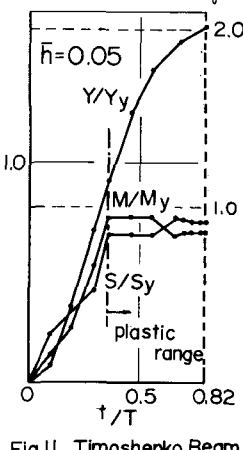


Fig.11 Timoshenko Beam

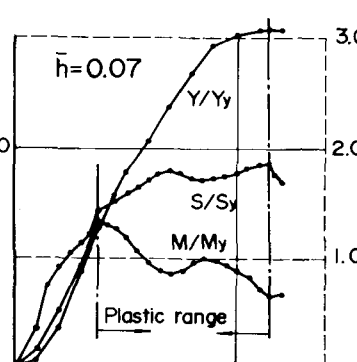


Fig.12 Timoshenko Beam

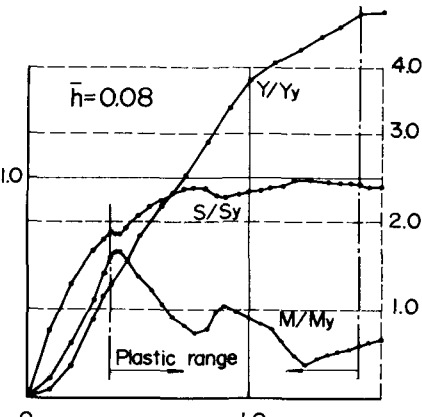


Fig.13 Timoshenko Beam

並くなる。

⑤  $\bar{h} = 0.07$  以上になると、せん断力の方が大きい状態で塑性領域に入り、荷重が大きくなるにつれての傾向が大きくなる。

⑥ 塑性領域においては、曲げモーメント  $M$  とせん断力  $S$  はお互い増減しながら、うち方が次第に大きくなり一方は減少する。ところが  $\bar{h} = 0.09$  ではその傾向は大きく、ある時間になると  $S$  は  $M$  より一走る。

⑦ 以上のことをより、荷重が大きくなると相互作用はかたり大きいものとなる。

#### (4) はりの強度におけるせん断変形の影響

これまでの計算結果より、スパン長の比較的小いはりにおいては、せん断変形の影響はかなり大きいことが分った。そこで次に、はりの衝撃力をに対する強度におけるせん断変形の影響について検討してみることとする。

数值計算結果は、Fig. 15, 16 に示す。Fig. 15 は単純支持はり、Fig. 16 は両端固定はりの結果である。縦軸は衝撃荷重強度  $\bar{p}$  で、横軸は最大応答  $\bar{Y}_m$  を示し、実線は Euler はりに対する  $\bar{p}$ - $\bar{Y}_m$  で、点線は元の異なる Timoshenko はりに対するものである。また、Euler はりの結果は荷重が異なるても変化しない。腹板は  $w = 0.036$  で一定であり。黒く塗り潰した点は、はりが塑性領域に入り始める点を示す。

これらの計算結果より

① 単純支持はりの場合、Euler はりでは  $\bar{p} = 0.5$  で塑性領域に入り始め、変形は次第に増加し、 $\bar{p} = 0.95$  を越えると無限大となる。

②  $\bar{h} = 0.05$  は、Fig. 8 に示すせん断変形の影響がほとんど見られない場合の値である。この値のとき、はりが塑性領域を越える  $\bar{p}$  の値は Euler はりの場合と等しく、変形が約 2.5% 程度増加するに過ぎない。また、変形が無限大となる  $\bar{p}$  の値も Euler はりに比べてわずかに減少しているだけである。このことから、スパン長が大きい場合、衝撃力をに対するはりの強度におよぼすせ

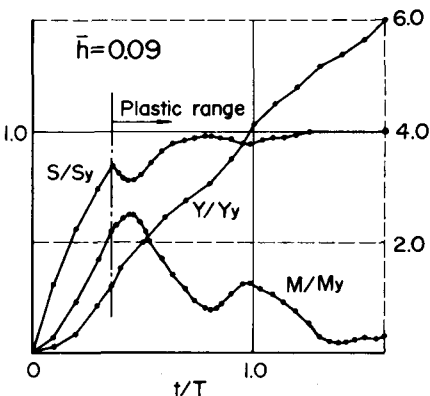


Fig. 14 Timoshenko Beam

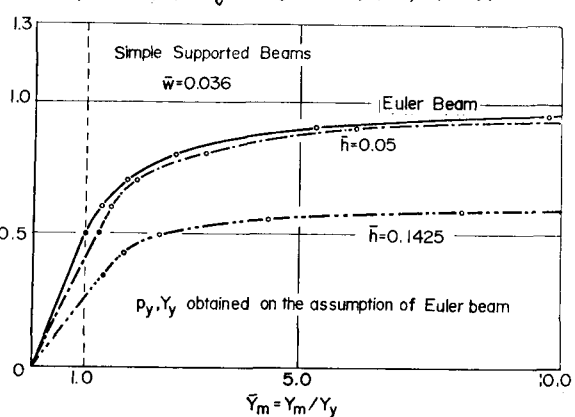


Fig. 15 Relationship between  $\bar{p}$  and  $\bar{Y}_m$

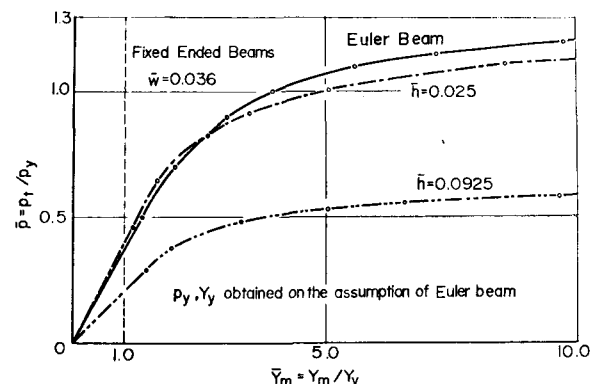


Fig. 16 Relationship between  $\bar{p}$  and  $\bar{Y}_m$

せん断変形の影響はきわめて小さい。

③  $\bar{\pi} = 0.1425$  は、変形が無限に大きくなる場合である。この場合、変形が弾性領域を越える  $\bar{p}$  の値は Euler はりより約 32% も減少し、またその変形量  $\bar{\gamma}_m$  は 32.5% 増加する。また、 $\bar{p}$  が 0.34 を越えると変形は増し、 $\bar{p} = 0.5$  付近から  $\bar{x}$  の增加急激になり、 $\bar{p} = 0.58$  付近で変形は無限大となる。その時の  $\bar{p}$  の値は Euler はりより約 39% も減少する。これから、スパン長の小さいほどでは、せん断変形の影響により、かなりはりの衝撃力に対する強度は減少することが分かる。

④両端固定はりの場合、Euler はりではやはり  $\bar{p} = 0.5$  で塑性領域に入り始めるが、 $\bar{p} = 1.2$  以上になると変形が無限大になる。これは、単純支持はりの場合中央点に塑性ヒンジができるばく降伏が始まるが、両端固定はりでは、まず両端に塑性ヒンジができる、さらに中央点に塑性ヒンジができるまで降伏している。

⑤  $\bar{\pi} = 0.025$  は、せん断変形の影響がほとんど現られない場合の値である。この場合、単純支持はりと異なり、塑性領域に入り始める  $\bar{p}$  は Euler はりより約 70% 減少する。また変形もめずかに減少する。そして、Euler はりより約 8% 程度小さい  $\bar{p}$  で変形が無限大になる。このことより、両端固定はりの場合、スパン長の大さいほどでもはりの強度は少し減少する。

⑥  $\bar{\pi} = 0.0925$  では、Euler はりより約 42% も小さい  $\bar{p}$  で塑性領域に入り、 $\bar{p} = 0.6$  付近で変形が無限大になる。この  $\bar{p}$  の値の減少の割合は、単純支持はりよりさらに大きく、より値はあしらう単純支持はりの場合に近くなる。これはスパン長の短いほどではせん断力によつて降伏するが、せん断力の力 - 变形特性は両端固定はりと単純支持はりの場合と同じである。以上のことより、スパン長の短いほどでは、せん断変形の強度の減少によつて影響は大きく、単純支持はりより 23% 大きくなる。

#### 4. まとめ

以上の結果から、回転慣性の影響は小さいが、スパン長の短かいはりでは、せん断変形の影響によつて衝撃力によるはりの塑性変形は増加し、はりの強度は減少するといふべし。せん断変形の影響は、(a)せん断変形による慣性力の変化、(b)弾性領域の減少、(c)塑性領域における曲げモーメントとせん断力の相互作用、以上 3つに分けるといつてある。これら3つの影響の中でも (a), (c) の影響は interaction curve によつてかなり異なりくる。しかし、interaction curve につけての実験データは乏しいのでまだ不明な点が多い。著者らは今後この点について、できれば実験などによつて確めを行き、さらに改良を加えたいと考えている。

#### 参考文献

- 1) 土木学会第25回年次学術講演会集、p 291~244、同じく 26 回講演集、p 171~174
- 2) R. K. Wen and N. Beylerian: "Elastic-Plastic Response of Timoshenko Beams", Journal of the Structural Division, Proc. of the ASCE, Vol. 93, No. ST3, June 1967
- 3) J. M. Biggs : Introduction to Structural Dynamics, McGraw-Hill, 1964
- 4) P. G. Hodge : Plastic Analysis of Structures, McGraw-Hill, 1959
- 5) 田中尚：構造物の極限解析、建築構造学大系、彰国社、1966

その他